

$$j_i = \frac{r_{i+1}}{r_i} \left[2j_{i+1} - j_{i+2} \frac{r_{i+2}}{r_{i+1}} + \frac{eh^2}{e_0} (n_0 \exp(ej_{i+1}/kT_e) - n_i) \right] \quad (1)$$

Потенциал пылевой частицы определялся в процессе решения при достижении радиуса частицы $r=a$. Начальное распределение потенциала может быть произвольным. Для уменьшения количества шагов по времени оно задавалось близкое к реальному по аппроксимирующей формуле:

$$j_i = j_a \left(\frac{r_d - r}{r_d - a} \right)^2 \left(\frac{a}{r} \right)^{1,1} \quad (2)$$

Начальная концентрация ионов определялась по (1). Ионы объединялись в крупные частицы числом 200 на интервале h с равномерным распределением по длине интервала. Через каждый интервал времени $t_0 = 4 \cdot 10^{-3} (w_i)^{-1}$ (w_i - ионная плазменная частота) в каждом интервале h рождалась новая крупная частица с зарядом $4pr^2 h Z n_e t_0$ и равномерным случайным расположением по интервалу h . Абсолютная скорость

новой частицы и ее угол с радиусом разыгрывались в соответствии с максвелловским распределением с температурой атомов «Т». Через время от рождения обратное частоте ион-атомовых столкновений $\tau = 1/\nu_i$ разыгрывание скорости иона производилось заново. При достижении радиуса пылевой частицы ион поглощается.

Частота ионизации Z корректировалась на каждом временном шаге для компенсации ухода ионов на пылевую частицу. Движение крупных частиц моделировалось в соответствии с уравнением

$$\frac{\partial u}{\partial t} = -\frac{q}{M} \frac{\partial j}{\partial r} + \frac{u_0^2 \sin^2 J_0^2 r_0^2}{r^3} \quad (3),$$

где индекс нуль соответствует значениям при рождении частицы. Число одновременно находящихся в ячейке крупных частиц достигало $2 \cdot 10^6$. На рисунке приведено распределение потенциала по радиусу при $a=0,02 \cdot \lambda_d$, $r_d=0,6 \cdot \lambda_d$ (λ_d - дебаевский электронный радиус). Видно существенное влияние температуры ионов и столкновений даже при малых их значениях.

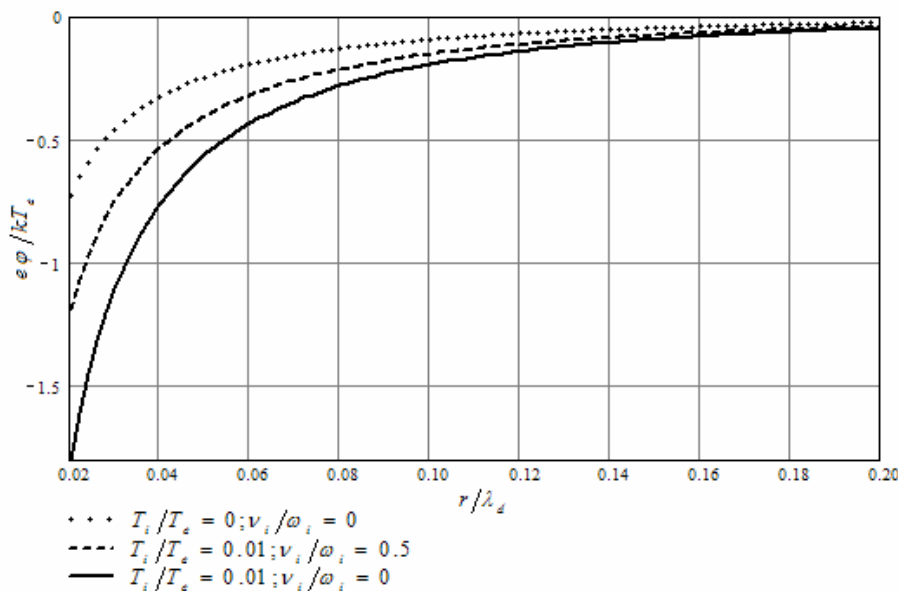


Рисунок 1. Распределение потенциала по радиусу при $a=0,02 \cdot \lambda_d$, $r_d=0,6 \cdot \lambda_d$

Работа выполнена в рамках проекта PZ-013-02, поддерживаемого совместно Американским фондом гражданских исследований и развития (АФГИР), Министерством образования РФ и правительством Республики Карелия.

МОДЕЛИ ЭКОНОМИКИ РОССИИ ПОСЛЕ ДЕФОЛТА

Тарушкин В.Т., Тарушкина Л.Т., Юрков А.В.
*С. Петербургский Государственный Университет,
 С. Петербург*

На основе нечёткой теории вероятностей строятся две модели экономики России после 1998 года: на

основе полиномиального распределения и с помощью цепей Маркова.

Пространство исходов $X = \{\omega_1, \omega_2, \omega_1^F, \omega_2^F\}$ для однократного бросания монеты на нечёткую в смысле Л. Заде плоскость [1] для случая экономики России интерпретируется как $\omega_1 = \{(\omega_1, 1), (\omega_2, 0)\}$: "сильный прирост ВВП (валовый внутренний продукт до 20% в год)"; $\omega_2 = \{(\omega_1, 0), (\omega_2, 1)\}$: "сильная защита окружающей среды"; $\omega_1^F = \{(\omega_1, F), (\omega_2, 0)\}$: "слабый прирост ВВП (до 10% в год)"; $\omega_2^F = \{(\omega_1, 0), (\omega_2, F)\}$: "слабая защита окружающей среды". Пространство исходов для развития экономики России за каждый год после дефолта (1999 – 2004 годы) будет $\Omega = X^2 = \{\omega^1, \dots, \omega^{16}\}$, где $\omega^1 = (\omega_1, \omega_1)$, $\omega^2 = (\omega_1, \omega_2)$, ..., $\omega^{16} = (\omega_2^F, \omega_2$

^F). Здесь рассмотрен аналог одновременного бросания двух монет на нечёткую плоскость, когда население России разбивается на два множества людей (эти множества могут пересекаться), в результате деятельности которых за год (эксперимент $m = 1$) реализуется одно из $\omega^1 \in \Omega$, которые являются независимыми событиями с вероятностями $p(\omega^1) = p_1^2$, $p(\omega^2) = p_1 p_2$, \dots , $p(\omega^{16}) = p_4^2$ или $1 = \sum p(\omega) = (p_1 + p_2 + p_3 + p_4)^2 = p_1^2 + 2 p_1 p_2 + 2 p_1 p_3 + 2 p_1 p_4 + p_2^2 + \omega \in \Omega + 2 p_2 p_3 + 2 p_2 p_4 + p_3^2 + 2 p_3 p_4 + p_4^2$, т.е. имеем полиномиальное (мономиальное) распределение [2]. Нас будут интересовать $\omega^{12} = (\omega_2^F, \omega_1^F)$: "слабая борьба за сохранение и очищение окружающей среды и слабый прирост ВВП" и $\omega^{15} = (\omega_1^F, \omega_2^F)$: "слабый прирост ВВП и слабая борьба за сохранение и очищение окружающей среды". В общей схеме рассмотрения $p(\omega^{12}) = p(\omega^{15}) = p_3 p_4$. Корректное задание вероятностей с точки зрения полиномиального распределения, описывающих ежегодную ситуацию в России в 1999-2004 годах, будет $p_1 = p_2 = 0$, $p_3 = p_4 = 1/2$. Вероятность выполнения события $\{\omega^{12}\} + \{\omega^{15}\} = 1/2$ (это событие и реализовывалось). Вероятность выполнения события $\omega^{11} = (\omega_1^F, \omega_1^F)$: "слабый прирост ВВП и нет деятельности по улучшению и охране окружающей среды" будет $1/4$. Вероятность события $\omega^{16} = (\omega_2^F, \omega_2^F)$: "нет прироста ВВП и слабая борьба за сохранение и улучшение окружающей среды" будет $1/4$. С увеличением числа экспериментов ($m = 1, \dots, 6$) число интересующих нас нечётких событий будет уменьшаться (соответственно уменьшится их вероятность). Например, для $m = 6$ при $p_1 = p_2 = 0$, $p_3 = p_4 = 1/2$ из выражения для $(p_3 + p_4)^{12}$ найдём $(12! / 6! 6!) p_3^6 p_4^6 = 924 p_3^6 p_4^6 = 0.2$. Введём новые обозначения для нечётких случайных событий, удобные для построения цепей Маркова: $D_{11} = \emptyset$, $D_{21} = \omega_1^F$, $D_{31} = \omega_1$ (последовательность случайных событий для описания ВВП), $D_{12} = \emptyset$, $D_{22} = \omega_2^F$, $D_{32} = \omega_2$ (последовательность для описания окружающей среды). Эти две последовательности имеют место для каждого $t = t_s$ и $I = 1, 2$, образуя $D_{11}^S, D_{21}^S, D_{31}^S$. Предположим, что рассматриваемые последовательности образуют цепи Маркова, тогда для $t = t_{s+1}$ вероятность осуществиться одному из $D_{11}^{S+1}, D_{21}^{S+1}, D_{31}^{S+1}$ зависит только от исходов для $t = t_s$ и не зависит от исходов для

более ранних моментов времени. Вероятности переходов $p_{ij}^{S+1} = p(D_j k^{S+1} / D_{ik}^S)$ образуют стохастические матрицы π_{s+1}^1 для ВВП и π_{s+1}^2 для окружающей среды вида

$$\begin{array}{ccc} p_{11}^{S+1} & p_{12}^{S+1} & p_{13}^{S+1} & 0 & 1 & 0 \\ p_{21}^{S+1} & p_{22}^{S+1} & p_{23}^{S+1} & 0 & 1 & 0 \\ p_{31}^{S+1} & p_{32}^{S+1} & p_{33}^{S+1} & 0 & 1 & 0 \end{array}$$

Здесь приводится общий вид матриц в буквах и конкретное значение этих матриц, используемое в модели экономики. Прямые уравнения Колмогорова – Чепмена [2]

$$p_{2005}^I = p_0^I \pi_{1999}^I \dots \pi_{2004}^I \quad (I = 1, 2)$$

дают возможность по начальному распределению $p_0^I = (0 \ 1 \ 0)$ (для $I = 1$ означающее с вероятностью 1 слабый прирост ВВП, для $I = 2$ означающее с вероятностью 1 слабую борьбу с загрязнением окружающей среды) вычислить $p_{2005}^I = (0 \ 1 \ 0)$, показывающее, что в данной модели при данном значении стохастических матриц в 2005 году ожидается с вероятностью 1 слабый прирост ВВП и слабая борьба с загрязнением окружающей среды.

Аналогично рассматриваются и подмножества ВВП (валовой продукт промышленности, сельского хозяйства и т.д.). Эти показатели, которые можно описать $0 = \text{нет}$, $F = \text{малый}$, $1 = \text{сильный}$, входящие в состав ВВП, потребуют в формулах только увеличения индекса ($I = 3, 4, \dots$). Другие показатели, например такой: регулирование отраслей, близких к необратимым изменениям, требующие для своего описания значений нет, слабый, сильный, критический, максимальный приведут к стохастическим матрицам размерности 5×5 и соответственно к вектор – строкам p_0^I , p_{2005}^I размерности 5.

СПИСОК ЛИТЕРАТУРЫ

1. Тарушкин В.Т. Алгебра Гейтинга нечётких случайных событий. Обзорение прикладной и промышленной математики, т. 11, в. 2. М: Ред. жур. "ОП и РМ", 2004.
2. Ширяев А.Н. Вероятность – 1. М: Изд. МЦНМО, 2004.

Химические науки

РЕАКЦИИ ЗАМЕЩЕНИЯ В ПИРРОЛОАКРИДОНАХ С УЧАСТИЕМ СЛАБЫХ ЭЛЕКТРОФИЛОВ

Алябьева Т.М.

Университет потребительской кооперации,
Белгород

Ранее нами синтезирована новая гетероциклическая система пирролоакридонона по реакции Ульмана, где в качестве аминосоставляющей был применен индолин и его производные. Биохимический аспект подобного рода конденсированных систем представ-

ляет определенный интерес, поскольку в живых организмах π -элект-роноизбыточная система пиррола участвует в процессах, связанных с передачей нервных импульсов и деятельностью центральной нервной системы; некоторые π -элект-ронодефицитные гетероциклы, в том числе и акридин, обладают своеобразным мутагенным действием, что предопределяет поиск среди них противоопухолевых препаратов. Синтезированная система пирролоакридонона показала различные виды биологической активности, в связи с чем нами продолжен синтез производных этой гете-